

Pt、N 共掺杂 TiO_2 在可见光下对三氯乙酸的催化降解作用 *

华南平¹ 吴遵义¹ 杜玉扣¹ 邹志刚² 杨平¹

(¹ 苏州大学化学系, 苏州 215006; ² 南京大学环境材料和新型能源研究中心, 南京 210093)

摘要 采用溶胶-凝胶法制备了氮掺杂纳米 TiO_2 (N-TiO₂), 并用光分解沉积法在 N-TiO₂ 表面负载微量金属 Pt(0.5% (w)), 形成铂-氮共掺杂纳米 TiO_2 (Pt/N-TiO₂)。实验结果表明, Pt、N 共掺杂纳米 TiO_2 紫外可见光吸收边带较纳米 TiO_2 红移约 20 nm, 并在 400~500 nm 处有弱的吸收。Pt/N-TiO₂ 电极在可见光区的光电流约为纳米 TiO_2 电极的 6 倍。以 Pt/N-TiO₂ 为催化剂, 催化三氯乙酸(TCA)光降解反应, 室温下经可见光照射 2 h 后 TCA 降解率约为 8%。N 掺杂减小了 TiO_2 的禁带能隙, 使它在可见光区具有光催化活性, 适量 Pt 掺杂抑制了光生载流子的复合, 加速了电子界面传递速度, Pt、N 共掺杂使两种效应相结合, 进一步提高了光催化反应性能。

关键词: 纳米 TiO_2 , Pt、N 共掺杂, 三氯乙酸, 可见光, 光催化降解

中图分类号: O643, O644

TiO_2 作为光催化剂在水的光分解制氢^[1], 光自洁^[2]等方面有着广泛的应用。由于 TiO_2 禁带能隙(3.2 eV) 较宽, 只有在紫外光照射下才显示光催化活性, 因此, 通过改性或敏化使 TiO_2 在可见光区具有光学活性已成为光催化研究领域的重要课题。自 Asahi^[3] 发现氮掺杂能使 TiO_2 在可见光照射下分解水以来, 阴离子掺杂工作已引起了人们的关注。一些课题组已相继报道了碳、氮、硼、硫、氟等非金属掺杂 TiO_2 和一些新的半导体催化材料^[4-14]的制备和光催化性能, 这些催化剂在可见光区均有一定的光催化活性。最新研究表明, 采用不同离子共掺杂或阴、阳离子共掺杂^[14-20]等方法可以进一步提高 TiO_2 催化剂的光吸收范围和催化活性。

当金属粒子沉积在 TiO_2 表面后, 金属- TiO_2 界面间的 Schottky 势垒可以有效地充当电子陷阱, 降低光生电子与空穴的复合几率^[21]。因此, 可以预见, 将金属粒子复合到阴离子掺杂 TiO_2 催化剂上可以进一步提高 TiO_2 的光催化活性, 这方面的工作尚未见报道。

本文通过光分解沉积法在 N 掺杂 TiO_2 纳米颗粒表面复合 Pt 金属纳米颗粒, 研究了 Pt、N 共掺杂催化剂在可见光照射下对 TCA 光催化降解反应。研究表明, Pt、N 共掺杂可在较大程度上提高纳米 TiO_2 在可见光区的光催化降解反应性能。

1 实验部分

1.1 光催化剂的制备

(1) TiO_2 纳米颗粒的制备。12.5 mL $\text{Ti}(\text{OC}_4\text{H}_9)_4$ 用 4 mL 无水异丙醇稀释后, 在剧烈搅拌下缓慢滴入 150 mL 去离子水中, 用稀硝酸调节溶液 pH 值约为 2 后, 室温搅拌数小时, 升温至 75 ℃, 晶化 3 h, 得澄清透明的胶体溶液。在旋转蒸发仪上脱除溶剂, 经不同温度下焙烧后, 得纳米 TiO_2 。

(2) N 掺杂纳米 TiO_2 的制备^[5]。磁搅拌下, 向上述方法制得的 TiO_2 溶胶中加入适量的三乙胺, 滴加过程中溶液温度升高, 加完后澄清透明的溶胶转变为黄色的凝胶。将凝胶超声处理 15 min, 又得到透明胶体溶液。在旋转蒸发仪上脱除溶剂, 所得固体在 60 ℃下真空干燥过夜, 再经不同温度焙烧后, 得 N 掺杂纳米 TiO_2 (记为 N-TiO₂)。

(3) Pt、N 共掺杂催化剂的制备。将适量的 7.7×10^{-3} mol·L⁻¹ H_2PtCl_6 溶液与 0.5 g N-TiO₂ 混合, 加入少量 0.1 mol·L⁻¹ 的甲酸溶液, 用稀碱将悬浮液调至弱碱性, 通 N_2 除氧 15 min, 以 500 W 的高压汞灯为光源照射悬浮液使 H_2PtCl_6 在光照下分解还原并沉积于 N-TiO₂ 之上。离心分离, 沉淀用去离子水反复清洗, 直至无 Cl^- 离子检出, 在 100 ℃下真空干燥, 得 Pt、N 共掺杂催化剂(记为 Pt/N-TiO₂)。

1.2 测试与表征

2005-01-28 收到初稿, 2005-04-05 收到修改稿。联系人: 杨平(E-mail: pyang@suda.edu.cn; Tel: 0512-65112645)。*江苏省自然科学基金(BK2003031)和江苏省教育厅(03KJB150115)资助项目

用 Rigaku D/MAX RB 型 X 射线衍射仪(CuK_{α})对样品作物相分析, 工作电压 40 kV, 通过 Scherrer 公式估算其粒径; XPS 检测在 VG ESCALAB MK-II 型 X 射线光电子能谱仪上进行, Al K_{α} (1486.6 eV)射线为激发源, 污染碳 C1s(284.6 eV)为结合能标准.

将小片滤纸浸入液态石蜡中, 取出后在滤纸上仔细敷上一薄层粉末样品, 在 TU-1810 SPC 型紫外-可见分光光度仪上测定样品在 200~800 nm 的吸光度^[22]; 样品与 KBr 混合后压片, 在 Nicolet Magna 550 型红外光谱仪上测定红外光谱.

将 TiO_2 溶胶滴在经过预洁净处理的 2 cm×4 cm 导电玻璃(OTE)上, 在 Model KV-4a 型涂膜仪上以 $2000 \text{ r} \cdot \text{min}^{-1}$ 速度旋转涂膜, 室温凉干后, 400°C 焙烧 2 h, 得到 TiO_2 工作电极, 用同样的方法制得 N- TiO_2 膜的工作电极. 在 TiO_2 和 N- TiO_2 电极上滴适量的 $1 \times 10^{-3} \text{ mol} \cdot \text{L}^{-1} \text{ H}_2\text{PtCl}_6$ 溶液, 用 500 W 高压汞灯照射电极数分钟, 使 H_2PtCl_6 在光照下分解还原为金属 Pt, 用去离子水反复冲洗电极后烘干, 即可制得 Pt 掺杂 TiO_2 和 Pt、N 共掺杂 TiO_2 工作电极.

在 100 mL 石英烧杯中加入约 50 mL NaOH 溶液($0.05 \text{ mol} \cdot \text{L}^{-1}$)作为电解质溶液, 以饱和甘汞电极(SCE)为参比电极, Pt 电极为辅助电极, 通过电化学工作站(Chi600)记录 $I-V$ 、 $I-t$ 曲线. 测量时, 以 500 W 高压汞灯为光源, 从工作电极正面照射, 经 Toshiba B-47 型滤光片滤去紫外光.

1.3 光催化活性测定

光催化降解反应在带有磁搅拌的 100 mL 耐热容器中进行, 向 25 mL 浓度为 $1 \times 10^{-3} \text{ mol} \cdot \text{L}^{-1}$ 三氯乙酸溶液中加入 6.5 mg 催化剂, 在暗箱中搅拌 30

min, 让催化剂与有机物分子达到吸附平衡. 反应时将 500 W 高压汞灯置于溶液上方照射, 通过 Toshiba B-47 型滤光片滤去紫外光, 光源距溶液表面约 15 cm, 滤光后光源照度约为 $8 \text{ mW} \cdot \text{cm}^{-2}$. 用氯离子选择电极测量 Cl^- 离子浓度, 每次测量前, 先用标准 NaCl 溶液标定氯离子电极. Cl_3CCOOH 的光降解率 α 由下式计算:

$$\alpha = [\text{Cl}^-]/[\text{Cl}^-]_0 \times 100\%$$

式中 $[\text{Cl}^-]$ 是给定光照时间下产生的 Cl^- 离子浓度, $[\text{Cl}^-]_0$ 为氯乙酸完全降解时所产生的 Cl^- 离子浓度. 空白实验表明, 没有催化剂存在时, 在相同光照条件下 Cl_3CCOOH 基本不被可见光降解.

2 结果与讨论

2.1 光催化剂表征

图 1(A) 为 N- TiO_2 在不同温度焙烧 2 h 后的 XRD 图谱, 300°C 下焙烧 2 h, 只有锐钛矿晶相形成, 与文献[5]报道相符. 400°C 焙烧 2 h 后有少量金红石相出现, 焙烧温度升高, 金红石相比例增多, 600°C 焙烧 2 h 后, TiO_2 完全转化成金红石相. 图 1(B) 为 Pt/N- TiO_2 (400°C , 2 h) 样品的 XRD 图谱, XRD 图中没有检出 Pt 的特征衍射峰. N 掺杂后锐钛矿晶胞体积约增加了 1.7%, Pt 掺杂对晶胞体积基本没有影响. 根据 Scherrer 公式可以估算出 N- TiO_2 (400°C , 2 h) 粒径约为 10~12 nm. 从样品 N- TiO_2 XPS 谱图 396 eV 处可以检出一弱谱峰, 可归属于 TiO_2 晶格中 N 的特征峰^[3](吸附 N_2 的结合能约在 402 eV), 因此可确定有少量的 N 进入了 TiO_2 晶格.

图 2 为样品的 FT-IR 图, 由图可以看出, 经 400

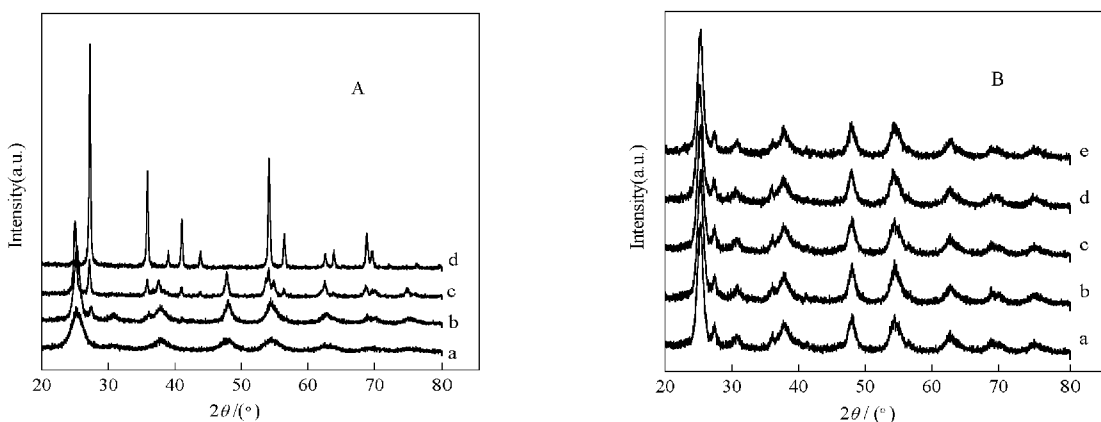


图 1 样品的 XRD 图谱

Fig.1 XRD patterns of the samples

(A) N- TiO_2 calcined at different temperatures for 2 h: (a) 300°C , (b) 400°C , (c) 500°C , (d) 600°C ;

(B) Pt/N- TiO_2 (calcined at 400°C , 2 h): (a) 0% (w) Pt, (b) 0.25% Pt, (c) 0.5% Pt, (d) 1.0% Pt, (e) 2.0% Pt

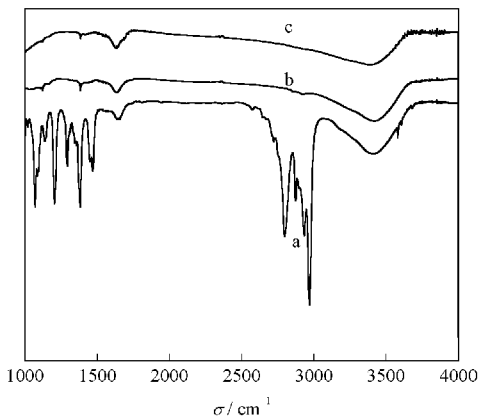


图 2 样品的 FT-IR 图谱

Fig.2 Infrared spectra of the samples

- (a) triethylamine; (b) N-TiO₂ calcined at (400 °C, 2 h);
(c) Pt/N-TiO₂ (calcined at 400 °C, 2 h, 0.5 % (w)Pt)

℃焙烧后,在 N-TiO₂ 和 Pt/N-TiO₂ 中的三乙胺均已除去。图3是样品的紫外-可见吸收光谱图, TiO₂半导体的禁带宽度 E_g 约为 3.2 eV, 当载流子从价带(主要是O的2p轨道)跃迁至导带(主要指Ti³⁺的t_{2g}轨道)时,在紫外光区会有较强的吸收。从图中可看出, N掺杂后的 N-TiO₂ 吸收边带相对于 TiO₂ 约有 20 nm 红移,且在 400~500 nm 处有弱吸收,这主要是因为 N 部分取代 O 后, N 的 p 轨道与 O 的 2p 轨道杂化,使其带隙变窄^[7]。而沉积在催化剂表面的 Pt 对 TiO₂ 吸收边带没有明显影响。

2.2 催化剂的光催化活性

在可见光照射下,经不同温度焙烧 2 h 的 N-TiO₂ 催化三氯乙酸光降解反应结果见图4A。400 ℃焙烧 2 h, 催化活性达最大。焙烧温度超过 400 ℃, 催化活性下降。这可能是因为经合适温度焙烧后, 适量

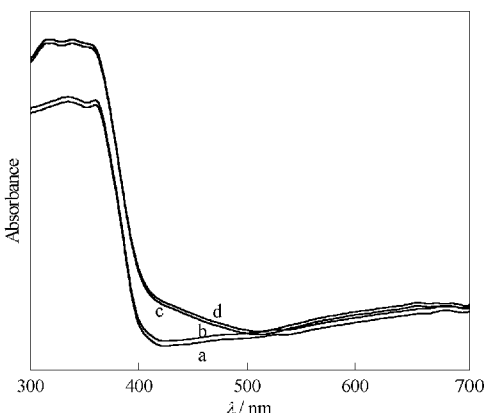


图 3 样品的紫外可见吸收光谱

Fig.3 UV-Vis absorption spectra of the samples

- (a) TiO₂; (b) Pt-TiO₂; (c) N-TiO₂; (d) Pt/N-TiO₂

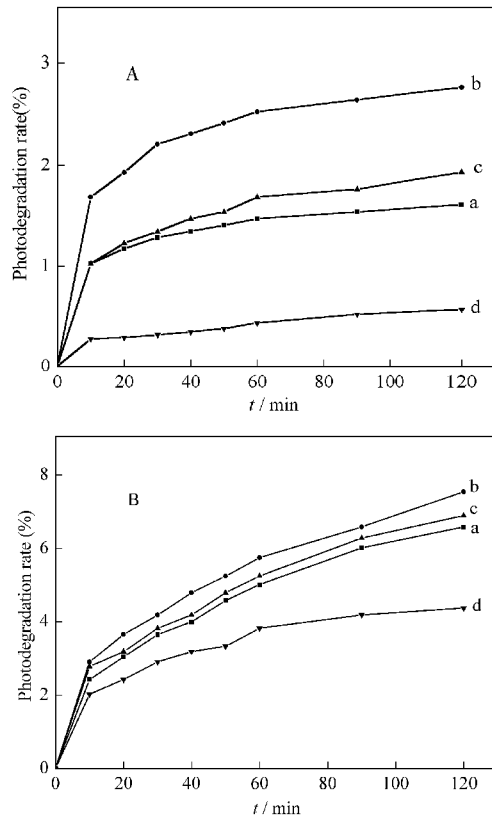


图 4 可见光照射下的光催化降解TCA反应

Fig.4 Photocatalytic degradation of TCA irradiated under visible light

- A: N-TiO₂ calcined at (a) 300 °C, (b) 400 °C, (c) 500 °C,
(d) 600 °C for 2 h; B: Pt/N-TiO₂ (a) 0.25% Pt(w),
(b) 0.5%Pt(w), (c) 1.0%Pt(w), (d) 2.0%Pt(w)

的 N 原子取代了锐钛矿晶格中的 O 原子, 形成了较为完整的微量 N 取代的锐钛矿晶型($TiO_{2-x}N_x$), 降低了半导体的禁带宽度, 因而在可见光照射下具有光催化活性。当焙烧温度大于 400 ℃, TiO₂ 晶格中 N 会被 O 所取代, N 掺杂效应降低, 同时, 比表面积降低, 部分锐钛矿晶相转化成金红石晶相, 这些均会导致催化活性降低^[23]。图 4B 是在可见光照射下, Pt 沉积量对样品催化活性的影响。当负载 Pt 的质量分数为 0.5% 时, 可见光照射下催化活性最高, Pt/N-TiO₂ 的催化活性大约是 N-TiO₂ 的 3 倍。Zhao 等^[24]指出, 在 TiO₂ 表面沉积 Pt 后会产生新的低于 TiO₂ 导带能量的分支电子态(derived electron states), 当 Pt/N-TiO₂ 吸收可见光后, 光生电子会迁至 Pt 分支电子态, 使得 Pt 上的电子密度增大。电子的迁移可以使光生电子-空穴分离, 在一定程度上抑制了电子-空穴对的复合, 提高催化活性。但沉积的 Pt 过量时, Pt 或 Pt-

表 1 几种催化剂在可见光照射下解 TCA 的表观速率常数

Table 1 Apparent rate constants of TCA photodegradation irradiated under visible light of the samples

Sample	Pt/N-TiO ₂	N-TiO ₂	Pt/TiO ₂	TiO ₂
apparent rate constant(min ⁻¹)	5.5×10 ⁻⁴	1.6×10 ⁻⁴	<1.5×10 ⁻⁵	<1.0×10 ⁻⁵

TiO₂ 界面也会成为光生载流子的复合中心,降低催化活性.

TCA 光降解反应符合准一级反应动力学过程,作 $\ln(C_0/C)$ 与 t 的关系图可求出各催化剂对 TCA 光降解的表观速率常数(表1). 在可见光照射下, 催化剂的催化活性依 TiO₂ < Pt/TiO₂ < N-TiO₂ < Pt/N-TiO₂ 的顺序增高.

2.3 催化剂的光电性质

在 0.75 V(对 SCE)工作电压下不同电极的光电流图谱见图 5. 无光照时, 只有微量暗电流通过电极, 在可见光照射间隙里, 呈现明显的阳极光电流平台. 以 N-TiO₂ 和 Pt/N-TiO₂ 为工作电极时光电流分别为 2.0 μA 和 5.3 μA. N-TiO₂ 电极上掺入微量金属 Pt 后, 电极的光电流大大增高, 说明氮掺杂后的 N-TiO₂ 虽然在可见光激发下可以产生光生电子-空穴对, 但相当一部分光生电荷在扩散过程中重新复合而被消耗掉, Pt 的引入提高了光生电子-空穴的分离效率, 因而在相同光照条件下 Pt/N-TiO₂ 电极的光电流最强. 通过电极的光电流依 TiO₂ < Pt/TiO₂ < N-TiO₂ < Pt/N-TiO₂ 的顺序增高, 与相应催化剂在可见光激发下的催化活性顺序一致, 表明最终到达催化剂表面的光生载流子数量与光催化反应密切相关.

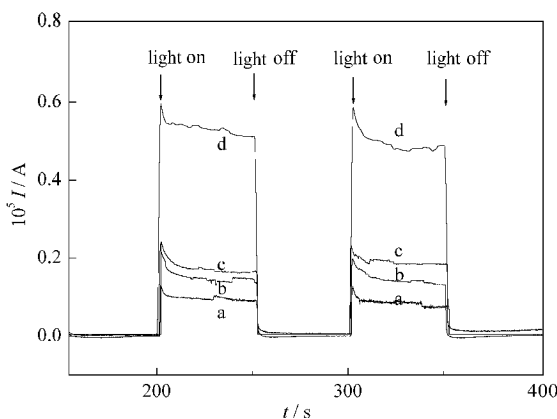


图 5 可见光照射下几种工作电极的 $I-t$ 曲线

Fig.5 Photocurrent response of the OTEs to visible light irradiation

(a) TiO₂; (b) Pt-TiO₂; (c) N-TiO₂; (d) Pt/N-TiO₂

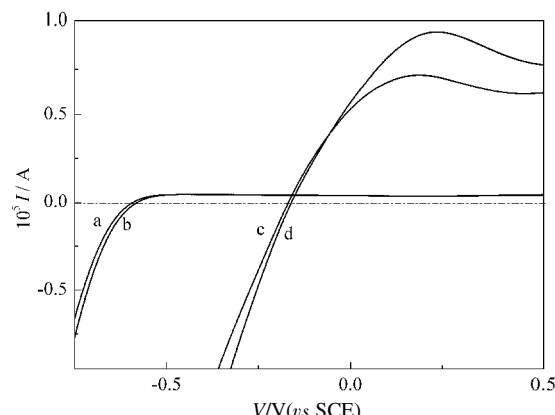


图 6 几种工作电极在可见光照射下的 $I-V$ 曲线

Fig.6 The photocurrent as a function of applied voltage under visible light irradiation

(a) TiO₂; (b) N-TiO₂; (c) Pt-TiO₂; (d) Pt/N-TiO₂

图6是电极的光电流-电压($I-V$)特征曲线, 从 $I-V$ 曲线可了解电极的零电流电势的变化情况. 零电流电势相当于纳米半导体的表面平带能, 零电流电势向正向移动时与电极表面负电荷降低相对应^[25]. 在可见光照射下, Pt/N-TiO₂ 电极的零电流电势与 TiO₂ 及 N-TiO₂ 电极相比, 向正方向约有 0.4 V 正移, 这表明 Pt 的存在不仅可以抑制光生载流子的复合, 而且可以加速光生电子的界面迁移. 而在同样的条件下, N-TiO₂ 电极与 TiO₂ 电极零电流电势差别很小, 这说明 N-TiO₂ 和 TiO₂ 催化活性的差异主要是由于它们具有不同的禁带隙宽度.

3 结 论

采用 N, Pt 双组分对 TiO₂ 共掺杂制备的催化剂 Pt/N-TiO₂ 在可见光照射下具有一定催化活性. N 的掺杂减小了 TiO₂ 的带隙, 使得 N-TiO₂ 催化剂在可见光区具有光催化活性, 适量 Pt 掺杂抑制了光生载流子的复合, 加速了电子界面传递速度, 从而更进一步提高了催化剂在可见光下的光催化反应性能.

References

- 1 Honda, K.; Fujishima, A. *Nature*, **1972**, *238*: 37
- 2 Hoffmann, M. R.; Martin, S. T.; Choi, W.; Bahnemann, D. W. *Chem. Rev.*, **1995**, *95*: 69
- 3 Asahi, R.; Ohwaki, T.; Aoki, K.; Taga, Y. *Science*, **2001**, *293*: 269
- 4 Khan, S.; Al-Shahry, M.; Ingler, Jr. W. B. *Science*, **2002**, *297*: 2243
- 5 Gole, J. L.; Stout, J. D. *J. Phys. Chem. B*, **2004**, *108*: 1230
- 6 Irie, H.; Watanabe, Y.; Hashimoto, K. *J. Phys. Chem. B*, **2003**, *107*: 5483
- 7 Diwald, O.; Thompson, T. L.; Goralski, E. G.; Walck, S. D.; Yates,

- J. T. *J. Phys. Chem. B*, **2004**, *108*: 52
- 8 Umebayashi, T.; Yamaki, T.; Itoh, H. *Appl. Phys. Lett.*, **2002**, *81*: 454
- 9 Umebayashi, T.; Yamaki, T.; Yamamoto, S.; Miyashita, A.; Tannka, S. *J. Appl. Phys.*, **2003**, *93*: 5156
- 10 Hattori, A.; Yamamoto, M.; Tada, H.; Ito, S. *Chem. Lett.*, **1998**, *32*: 707
- 11 Hattori, A.; Shimoda, K.; Tada, H.; Ito, S. *Langmuir*, **1999**, *15*: 5422
- 12 Irie, H.; Watanabe, Y.; Hashimoto, K. *Chem. Lett.*, **2003**, *32*: 772
- 13 Zou, Z. G.; Ye, J. H.; Sayama, K.; Arakawa, H. *Nature*, **2001**, *414*: 625
- 14 Zhao, W.; Ma, W. H.; Chen, C. C.; Zhao, J. C.; Shuai, Z. G. *J. Am. Chem. Soc.*, **2004**, *126*: 4782
- 15 Nukumizu, K.; Nunoshige, J.; Takata, T. *Chem. Lett.*, **2003**, *32*(2): 196
- 16 Luo, H. M.; Takata, T.; Lee, Y. *Chem. Mater.*, **2004**, *16*: 846
- 17 Liu, H. Y.; Gao, L. *Chem. Lett.*, **2004**, *33*: 730
- 18 Yang, P.; Lu, C.; Hua, N. P.; Du, Y. K. *Materials Letters*, **2002**, *14*: 794
- 19 Zhang, Y. H.; Xiong, G. X.; Yao, N.; Yang, W. S.; Fu, X. Z. *Catalysis Today*, **2001**, *68*: 89
- 20 Li, Y. X.; Wang, T. H.; Peng, S. Q.; LÜ, G. X.; Li, S. B. *Acta Phys. - Chim. Sin.*, **2004**, *20*(12): 1434 [李越湘, 王添辉, 彭绍琴, 吕功煊, 李树本. 物理化学学报(*Wuli Huaxue Xuebao*), **2004**, *20*(12): 1434]
- 21 Sun, B.; Vorontsov, A. V.; Smirniotis, P. G. *Langmuir*, **2003**, *19*: 3151
- 22 Dvoranova, D.; Brezova, V.; Maziur, M.; Malati, M. A. *Appl. Catal. A*, **2002**, *37*: 91
- 23 Yin, S.; Aita, Y.; Komatsu, M.; Wang, J. S.; Tang, Q.; Sato, T. *J. Mater. Chem.*, **2005**, *15*: 674
- 24 Zhao, W.; Chen, C. C.; Li, X. Z.; Zhao, J. C. *J. Phys. Chem. B*, **2002**, *106*: 5022
- 25 Chandrasekharan, N.; Kamat, P. V. *J. Phys. Chem. B*, **2000**, *104*: 10851

Titanium Dioxide Nanoparticles Codoped with Pt and N for Photodegradation of Cl₃CCOOH *

HUA, Nan-Ping¹ WU, Zun-Yi¹ DU, Yu-Kou¹ ZOU, Zhi-Gang² YANG, Ping¹

(¹*Department of Chemistry, Suzhou University, Suzhou 215006*; ²*Ecomaterials and Renewable Energy Research Center, Nanjing University, Nanjing 210093*)

Abstract Nanoparticles of titanium dioxide doped with nitrogen(N-TiO₂) were synthesized using sol-gel method. Nano-TiO₂ codoped with platinum and nitrogen(Pt/N-TiO₂) was prepared by photolysis-deposition of H₂PtCl₆ on N-TiO₂(0.5% (w) Pt). The onset of the absorption spectrum of Pt/N-TiO₂ has a 20 nm red-shift and a weak absorption in the wavelength region from 400 to 500 nm compared with the spectrum of the non-doped catalyst. The photocurrent of Pt/N-TiO₂ electrode is five times higher than that of TiO₂ electrode. The photodegradation yield of trichloroacetic acid over Pt/N-TiO₂ catalyst is 8% under visible light irradiation for 2 h. Doping nitrogen in TiO₂ reduces the band gap of anatase, which makes N-TiO₂ possess catalytic activity in visible light region. Pt clusters precipitated on nano-TiO₂ may retard the recombination of the photo-excited charge carriers and improve interfacial charge transfer. Pt/N-TiO₂ catalyst benefited from both of the effects.

Keywords: Nano-TiO₂, Pt and N codoping, Trichloroacetic acid, Visible light, Photodegradation

Received: January 28, 2005; Revised: April 5, 2005. Correspondent: YANG, Ping(E-mail: pyang@suda.edu.cn; Tel: 0512-65112645).

*The Project Supported by NSF of Jiangsu Province(BK2003031)